

Зависимость дифференциальной емкости $p^+ - n$ -перехода от напряжения

© Н.А. Шеховцов[¶]

Харьковский национальный университет им. В.Н. Каразина, 61077 Харьков, Украина

(Получена 10 мая 2012 г. Принята к печати 31 мая 2012 г.)

Получены зависимости дифференциальной емкости и тока $p^+ - n$ -перехода с однородным легированием n -области от напряжения на области перехода. Емкость $p^+ - n$ -перехода определяет изменение заряда в области перехода с учетом изменения электрического поля квазинейтральной n -области и изменения биполярной дрейфовой подвижности в ней при увеличении концентрации неравновесных носителей заряда. Показано, что изменение знака емкости $p^+ - n$ -перехода с ростом уровня инжекции вызвано уменьшением биполярной дрейфовой подвижности при увеличении концентрации пар электрон-дырка в n -области. Показано, что с ростом обратного напряжения емкость $p^+ - n$ -перехода уменьшается и стремится к постоянному положительному значению.

1. Введение

В работах [1–5] экспериментально показано, что емкость $p^+ - n$ -перехода при высоких уровнях инжекции изменяет знак с положительного на отрицательный. В работах [6,7] получено изменение знака емкости у германиевых $p^+ - n - n^+$ - и $n^+ - p - p^+$ -диодов с проводимостью средней области, близкой к собственной, при малых токах инжекции. Обзор исследований емкости $p - n$ -перехода с 1955 по 1988 г., которые основаны на усовершенствованной модели Шокли [8], приведен в работе [9]. Результаты этих исследований не объясняют изменение знака емкости $p^+ - n$ -перехода. В работе [10] показано, что у $p^+ - n$ -перехода с линейным градиентом концентрации примеси изменение знака емкости вызвано процессами в области перехода. Однако граничные условия для области $p^+ - n$ -перехода представлены без учета процессов в квазинейтральной n -области.

В связи с этим исследованы зависимости дифференциальной емкости и тока $p^+ - n$ -перехода с однородным легированием n -области от напряжения на области перехода. Рассмотрена емкость $p^+ - n$ -перехода, которая образована изменением заряда в области перехода с учетом изменения электрического поля квазинейтральной n -области в режимах прямого и обратного включений. В режиме прямого включения $p^+ - n$ -перехода поле в квазинейтральной n -области определено с учетом зависимости биполярной дрейфовой подвижности от концентрации неравновесных пар электрон-дырка.

Показано, что изменение знака емкости $p^+ - n$ -перехода с ростом уровня инжекции вызвано уменьшением биполярной дрейфовой подвижности в n -области с увеличением концентрации пар электрон-дырка током инжекции. Показано, что с увеличением обратного напряжения емкость $p^+ - n$ -перехода уменьшается и стремится к постоянному положительному значению.

2. Уравнения динамического равновесия $p^+ - n$ -перехода

В состоянии термодинамического равновесия $p^+ - n$ -перехода, энергетическая диаграмма которого показана на рисунке, точное распределение электрического поля и потенциала в области пространственного заряда (ОПЗ) перехода получено в работе [11].

При динамическом равновесии $p^+ - n$ -перехода в ОПЗ перехода заряд электронов значительно меньше заряда дырок. Поэтому рекомбинацией электронов и дырок можно пренебречь. В этом случае токи дырок и электронов в ОПЗ $p^+ - n$ -перехода не зависят от координаты x . Состояние динамического равновесия такого $p^+ - n$ -перехода определит система уравнений:

$$\frac{j_p}{qD_p} = \frac{p(x)}{kT} \frac{d\varphi(x)}{dx} - \frac{dp(x)}{dx}, \quad (1)$$

$$\frac{j_n}{qD_n} = \frac{n(x)}{kT} \frac{d\varphi(x)}{dx} + \frac{dn(x)}{dx}, \quad (2)$$

$$\frac{d^2\varphi(x)}{dx^2} = \frac{4\pi q^2}{\varepsilon} [p(x) + n_T - p_T - n(x)], \quad (3)$$

где j_p — ток дырок, j_n — ток электронов, $p(x)$ и $n(x)$ — распределения концентрации дырок и электронов соответственно, p_T и n_T — концентрация дырок и электронов в n -области при термодинамическом равновесии перехода; $\varphi(x) = -q\psi(x)$, где q — заряд электрона, а $\psi(x)$ — положительный потенциал, k — постоянная Больцмана, T — температура Кельвина, ε — диэлектрическая проницаемость решетки полупроводника; $D_p/\mu_p = D_n/\mu_n = kT/q$, где D_p и D_n — коэффициенты диффузии, а μ_p и μ_n — подвижности дырок и электронов.

Граничные условия для системы уравнений (1)–(3) представим в виде

$$\varphi(L) = 0, \quad (4)$$

[¶] E-mail: shekhov@isc.kharkov.ua

$$\varphi(0) = q(U_k \mp U), \quad (5)$$

$$p(L) = p_L, \quad (6)$$

$$p(0) = p_0(0) \pm \Delta p(0) \\ = p_T e^{\frac{qU_k}{kT}} [1 \pm \Delta p(0) p_T^{-1} e^{-\frac{qU_k}{kT}}], \quad (7)$$

$$n(L) = n_L, \quad (8)$$

$$n(0) = n_0(0) \pm \Delta n(0) = n_T e^{\frac{qU_k}{kT}} [1 \pm \Delta n(0) n_T^{-1} e^{-\frac{qU_k}{kT}}], \quad (9)$$

$$n(0) = n_T e^{-\frac{q(U_k \mp U)}{kT}} \mp \Delta n(0), \quad (10)$$

$$\left(\frac{d\varphi(x)}{dx} \right)_{x=L} = \left(\frac{d\varphi(x)}{dx} \right)_L. \quad (11)$$

Здесь L — ширина ОПЗ перехода; U — напряжение, которое изменяет контактную разность потенциалов U_k ; $p_0(0)$ и $n_0(0)$ — концентрации дырок и электронов в p^+ -области p^+ - n -перехода при термодинамическом равновесии (см. рисунок); верхние знаки — для прямого включения, а нижние знаки — для обратного включения. Величины p_L , n_L , $\Delta p(0)$, $\Delta n(0)$ и $(d\varphi(x)/dx)_L$ зависят от напряжения U .

Представление $n(0)$ в виде (9) и (10) дает возможность выразить $\Delta n(0)$ через n_L . Заметим, что условие (10) может быть использовано только в случае пренебрежимо малого изменения $U_k \mp U$ при замене распределения $n(x)$ распределением Больцмана.

Концентрацию электронов n_L определяет условие квазинейтральности n -области, которое на границе с ОПЗ перехода имеет вид

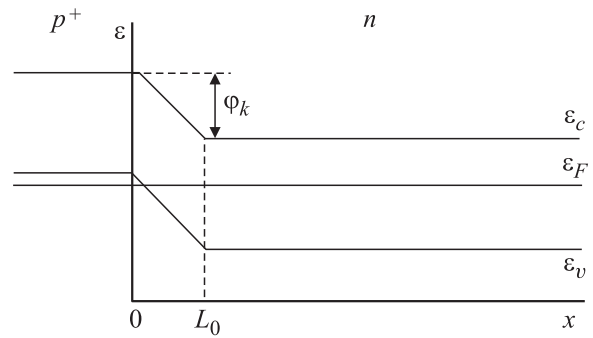
$$n_L = n_T + p_L - p_T, \quad (12)$$

а концентрацию дырок $\Delta p(0)$ определяет условие квазинейтральности p^+ -области, которое на границе с ОПЗ перехода имеет вид

$$\Delta p(0) = \Delta n(0). \quad (13)$$

В режиме инжекции p^+ - n -переходом дырок в n -область квазинейтральность n -области устанавливает приход в нее электронов из омического контакта n -области. Это приводит к выполнению неравенства $\Delta p(x) > \Delta n(x)$ при $\Delta p(x) - \Delta n(x) \ll \Delta p(x), \Delta n(x)$. Поэтому плоскость раздела ОПЗ p^+ - n -перехода и квазинейтральной n -области при $x = L$ содержит заряд дырок, который принадлежит ОПЗ перехода и квазинейтральной n -области. Таким образом, электрические поля ОПЗ перехода $E(L)$ и квазинейтральной n -области $E(L+0)$ отличны от нуля и противоположно направлены, т. е.

$$\left(\frac{d\varphi(x)}{dx} \right)_L = - \left(\frac{d\varphi(x)}{dx} \right)_{L+0}. \quad (14)$$



Энергетическая диаграмма p^+ - n -перехода. ε_c — дно зоны проводимости, ε_v — потолок валентной зоны, ε_F — уровень Ферми, φ_k — величина потенциального барьера, L_0 — ширина области пространственного заряда p^+ - n -перехода.

При обратном включении p^+ - n -перехода поля $E(L)$ и $E(L+0)$ одинаково направлены и равны, т. е.

$$\left(\frac{d\varphi(x)}{dx} \right)_L = \left(\frac{d\varphi(x)}{dx} \right)_{L+0}. \quad (15)$$

На границе ОПЗ p^+ - n -перехода и квазинейтральной n -области при $x = L$ выполняется условие непрерывности тока

$$j = j(L+0), \quad (16)$$

где $j = j_p + j_n$ — ток в ОПЗ перехода, а $j(L+0) = j_p(L+0) + j_n(L+0)$ — ток в квазинейтральной n -области. Уравнение (16) определяет величину $(d\varphi(x)/dx)_L$.

Распределение концентраций $p(x)$, $n(x)$ и токи j_p и j_n в ОПЗ p^+ - n -перехода в режимах прямого и обратного включений получим интегрированием уравнений (1) и (2) методом вариации постоянной.

Распределение концентрации дырок $p(x)$, которое получаем интегрированием уравнения (1) при $j_p = 0$ от L до x с $\varphi(L) = 0$ и $p(L) = p_L$, имеет вид $p_L \exp[\varphi(x)/kT]$, где $p_L = \text{const}$ при $U = \text{const}$. Поэтому решение уравнения (1) ищем в виде

$$p(x) = c(x) e^{\frac{\varphi(x)}{kT}}. \quad (17)$$

Распределение концентрации электронов $n(x)$, которое получаем интегрированием уравнения (2) при $j_n = 0$ от L до x с $\varphi(L) = \pm qU$ и $n(L) = n_L$, имеет вид $n_T \exp[\mp qU/kT] \exp[-\varphi(x)/kT]$. При $|U| > 0$ характер распределения концентрации электронов $n(x)$ не зависит от величины напряжения U . Поэтому решение уравнения (2) ищем в виде

$$n(x) = C(x) e^{-\frac{\varphi(x)}{kT}}. \quad (18)$$

Прямое включение p^+ - n -перехода. Из уравнения (1) с учетом (17), (4)–(7) получаем распределение концен-

трации дырок $p(x)$ в виде

$$p(x) = p_T \left\{ p_L p_T^{-1} + \left[\left(1 + \Delta p(0) p_T^{-1} e^{-\frac{qU_k}{kT}} \right) e^{\frac{qU}{kT}} - p_L p_T^{-1} \right] \times \left(\int_L^0 e^{-\frac{\varphi(x)}{kT}} dx \right)^{-1} \int_L^x e^{-\frac{\varphi(x)}{kT}} dx \right\} e^{\frac{\varphi(x)}{kT}} \quad (19)$$

и ток дырок j_p в виде

$$j_p = qD_p p_T \left[\left(1 + \Delta p(0) p_T^{-1} e^{-\frac{qU_k}{kT}} \right) e^{\frac{qU}{kT}} - p_L p_T^{-1} \right] \times \left(\int_0^L e^{-\frac{\varphi(x)}{kT}} dx \right)^{-1}. \quad (20)$$

Из уравнения (2) с учетом (18), (4), (5), (8)–(10) получаем распределение концентрации электронов $n(x)$ в виде

$$n(x) = n_T \left\{ n_L n_T^{-1} + \left[n_L n_T^{-1} - e^{-\frac{qU}{kT}} \left(1 + \Delta n(0) n_T^{-1} e^{\frac{qU_k}{kT}} \right) \right] \times \left(\int_0^L e^{\frac{\varphi(x)}{kT}} dx \right)^{-1} \int_L^x e^{\frac{\varphi(x)}{kT}} dx \right\} e^{-\frac{\varphi(x)}{kT}} \quad (21)$$

и ток электронов j_n в виде

$$j_n = qD_n n_T \left[n_L n_T^{-1} - \left(1 + \Delta n(0) n_T^{-1} e^{\frac{qU_k}{kT}} \right) e^{-\frac{qU}{kT}} \right] \times \left(\int_0^L e^{\frac{\varphi(x)}{kT}} dx \right)^{-1}, \quad (22)$$

а также в виде

$$j_n = qD_n n_T \Delta n(0) e^{\frac{qU_k}{kT}} \left(\int_0^L e^{\frac{\varphi(x)}{kT}} dx \right)^{-1}. \quad (23)$$

Распределение электрического поля и потенциала в ОПЗ $p^+ - n$ -перехода определит решение уравнения (3), которое с учетом (19) и (21) принимает вид

$$\frac{d^2 \varphi(x)}{dx^2} = \frac{4\pi q^2 n_T}{\varepsilon} \left\{ p_L n_T^{-1} e^{\frac{\varphi(x)}{kT}} + p_T n_T^{-1} \left[\left(1 + \Delta p(0) p_T^{-1} e^{-\frac{qU_k}{kT}} \right) e^{\frac{qU}{kT}} - p_L p_T^{-1} \right] \times \left(\int_L^0 e^{-\frac{\varphi(x)}{kT}} dx \right)^{-1} e^{\frac{\varphi(x)}{kT}} \int_L^x e^{-\frac{\varphi(x)}{kT}} dx + 1 - p_T n_T^{-1} - n_L n_T^{-1} e^{-\frac{\varphi(x)}{kT}} + \left[n_L n_T^{-1} - \left(1 + \Delta n(0) n_T^{-1} e^{\frac{qU_k}{kT}} \right) e^{-\frac{qU}{kT}} \right] \times \left(\int_0^L e^{\frac{\varphi(x)}{kT}} dx \right)^{-1} e^{-\frac{\varphi(x)}{kT}} \int_L^x e^{\frac{\varphi(x)}{kT}} dx \right\}. \quad (24)$$

Получение зависимости $\varphi(x)$ из уравнения (24) представляет собой сложную задачу. Однако можно приближенно определить величину $(d\varphi(x)/dx)_{x=0}$, которая необходима для получения зависимости дифференциальной емкости $p^+ - n$ -перехода от напряжения. Для этого уравнение (24) умножаем на $2d\varphi(x)/dx$, интегрируем от L до 0 с учетом (4), (5), (11) и получаем

$$\left(\frac{d\varphi(x)}{dx} \right)_{x=0} = - \left(\frac{8\pi q^2 k T n_T}{\varepsilon} \right)^{1/2} \left\{ p_L n_T^{-1} \left(e^{\frac{q(U_k - U)}{kT}} - 1 \right) + p_T n_T^{-1} \left[\left(1 + \Delta p(0) p_T^{-1} e^{-\frac{qU_k}{kT}} \right) e^{\frac{qU}{kT}} - p_L p_T^{-1} \right] \times \left(\int_L^0 e^{-\frac{\varphi(x)}{kT}} dx \right)^{-1} \left[e^{\frac{q(U_k - U)}{kT}} \int_L^0 e^{-\frac{\varphi(x)}{kT}} dx + L \right] - \left(1 - p_T n_T^{-1} \right) \frac{q(U_k - U)}{kT} - n_L n_T^{-1} \left(1 - e^{-\frac{q(U_k - U)}{kT}} \right) - n_T p_T^{-1} \left[n_L n_T^{-1} - e^{-\frac{qU}{kT}} \left(1 + \Delta n(0) n_T^{-1} e^{\frac{qU_k}{kT}} \right) \right] \times \left(\int_L^0 e^{\frac{\varphi(x)}{kT}} dx \right)^{-1} \left[e^{-\frac{q(U_k - U)}{kT}} \int_L^0 e^{\frac{\varphi(x)}{kT}} dx + L \right] + \frac{\varepsilon}{8\pi q^2 k T n_T} \left(\frac{d\varphi(x)}{dx} \right)_L^2 \right\}^{1/2}, \quad (25)$$

где знак минус перед правой частью определяет направление поля. Произведения экспоненты, интеграла и производной проинтегрированы по частям.

Чтобы упростить получение величины $(d\varphi(x)/dx)_L$, учтем, что у $p^+ - n$ -перехода $j_p \gg j_n$. Тогда условие (16) можно заменить условием

$$j_p = j_p(L + 0). \quad (26)$$

Ток $j_p(L + 0)$ получим при следующих допущениях. Полагаем, что длина n -области $l \ll L_p$ — диффузионной длины дырок в ней, а базовый контакт n -области не оказывает существенного влияния на рекомбинацию электронов и дырок. В этом случае диффузионным током дырок в квазинейтральной n -области можно пренебречь. Дрейфовый ток дырок $j_p(L + 0)$ с учетом (14) представим в виде

$$j_p(L + 0) = -\mu_p p_L \left(\frac{d\varphi(x)}{dx} \right)_L. \quad (27)$$

Из уравнения (26) с учетом (20), (27) и соотношения Эйнштейна получаем

$$\left(\frac{d\varphi(x)}{dx} \right)_L = -kT (p_L p_T^{-1})^{-1} \times \left[\left(1 + \Delta p(0) p_T^{-1} e^{-\frac{qU_k}{kT}} \right) e^{\frac{qU}{kT}} - p_L p_T^{-1} \right] \left(\int_0^L e^{\frac{\varphi(x)}{kT}} dx \right)^{-1}. \quad (28)$$

Интегралы и величину L в (25) и (28) определим приближенно. Из (24) при $j_p = j_n = 0$, $p_L = p_T$, $n_L = n_T$

и замене $\varphi(x)$ на $\varphi_0(x)$ получаем уравнение состояния термодинамического равновесия $p^+ - n$ -перехода в виде

$$\frac{d^2\varphi_0(x)}{dx^2} = \frac{4\pi q^2 n_T}{\varepsilon} \left[p_T n_T^{-1} e^{\frac{\varphi_0(x)}{kT}} + 1 - p_T n_T^{-1} - e^{-\frac{\varphi_0(x)}{kT}} \right]. \quad (29)$$

Интегрируем уравнение (29) от L_0 до x с граничными условиями $\varphi_0(L_0) = 0$ и $(d\varphi_0(x)/dx)_{x=L_0} = 0$ и получаем

$$\frac{d\varphi_0(x)}{dx} = - \left(\frac{8\pi q^2 k T n_T}{\varepsilon} \right)^{1/2} \left[p_T n_T^{-1} \left(e^{\frac{\varphi_0(x)}{kT}} - 1 \right) + (1 - p_T n_T^{-1}) \frac{\varphi_0(x)}{kT} - (1 - e^{-\frac{\varphi_0(x)}{kT}}) \right]^{1/2}. \quad (30)$$

В ОПЗ $p^+ - n$ -перехода заряд дырок значительно больше заряда ионов доноров и электронов. Поэтому уравнение (30) можно представить в приближенном виде

$$\frac{d\varphi_0(x)}{dx} = - \left(\frac{8\pi q^2 k T n_T}{\varepsilon} \right)^{1/2} \times (p_T n_T^{-1})^{1/2} e^{\frac{\varphi_0(x)}{2kT}} (1 - e^{-\frac{\varphi_0(x)}{kT}})^{1/2}. \quad (31)$$

При

$$\int_0^x (1 - e^{-\frac{\varphi_0(x)}{kT}})^{1/2} dx \approx \int_0^x dx \quad (32)$$

из (31) с учетом (4), (5) получаем

$$L = \left(\frac{\varepsilon k T}{2\pi q^2 n_T} \right)^{1/2} (p_T n_T^{-1})^{-1/2} (1 - e^{-\frac{q(U_k \mp U)}{2kT}}), \quad (33)$$

$$\int_0^L e^{-\frac{\varphi(x)}{kT}} dx = \int_0^L e^{-\frac{\varphi_0(x)}{kT}} dx = - \left(\frac{8\pi q^2 n_T k T}{\varepsilon} \right)^{1/2} (p_T n_T^{-1})^{-1/2} \int_{q(U \mp U_k)}^0 e^{-\frac{3\varphi_0(x)}{2kT}} d\varphi_0(x)$$

$$= \frac{1}{3} \left(\frac{\varepsilon k T}{2\pi q^2 n_T} \right)^{1/2} (p_T n_T^{-1})^{-1/2} (1 - e^{-\frac{3q(U_k \mp U)}{2kT}}), \quad (34)$$

$$\int_0^L e^{\frac{\varphi(x)}{kT}} dx = \int_0^L e^{\mp \frac{qU}{kT}} e^{\frac{\varphi_0(x)}{kT}} dx = - \left(\frac{\varepsilon}{8\pi q^2 n_T k T} \right)^{1/2} (p_T n_T^{-1})^{-1/2} e^{\mp \frac{qU}{kT}} \int_{qU_k}^{\pm qU} e^{\frac{\varphi_0(x)}{2kT}} d\varphi_0(x) = \left(\frac{\varepsilon k T}{2\pi q^2 n_T} \right)^{1/2} (p_T n_T^{-1})^{-1/2} e^{\mp \frac{qU}{kT}} e^{\frac{qU_k}{2kT}} (1 - e^{-\frac{q(U_k \mp U)}{2kT}}). \quad (35)$$

Наличие $\exp(\mp \frac{qU}{kT})$ в (35) обусловлено требованием равенства максимумов подынтегральных функций в первом и втором интегралах при $x = 0$, так как $\varphi_0(0) = qU_k$, а $\varphi(0) = q(U_k \mp U)$.

Уравнение (25) с учетом (28), (33)–(35) принимает вид

$$\left(\frac{d\varphi(x)}{dx} \right)_{x=0} = - \left(\frac{8\pi q^2 k T n_T}{\varepsilon} \right)^{1/2} \left\{ p_T n_T^{-1} (1 + \Delta p(0)) \times p_T^{-1} e^{-\frac{qU_k}{kT}} e^{\frac{qU}{kT}} - p_L n_T^{-1} - 3p_T n_T^{-1} \left[(1 + \Delta p(0)) p_T^{-1} \times e^{-\frac{qU_k}{kT}} e^{\frac{qU}{kT}} - p_L n_T^{-1} \right] (1 - e^{-\frac{q(U_k - U)}{2kT}}) (1 - e^{-\frac{3q(U_k - U)}{2kT}})^{-1} + (1 - p_T n_T^{-1}) \frac{q(U_k - U)}{kT} - n_L n_T^{-1} (1 - e^{-\frac{q(U_k - U)}{kT}}) + [n_L n_T^{-1} e^{\frac{qU}{kT}} - (1 + \Delta n(0)) n_T^{-1} e^{\frac{qU}{kT}}] (1 - e^{-\frac{qU_k}{2kT}}) e^{-\frac{qU}{2kT}} + 2.25 p_T n_T^{-1} (p_L p_T^{-1})^{-2} \left[(1 + \Delta p(0)) p_T^{-1} e^{-\frac{qU_k}{kT}} e^{\frac{qU}{kT}} - p_L p_T^{-1} \right]^2 (1 - e^{-\frac{3q(U_k \pm U)}{kT}})^{-2} \right\}^{1/2}. \quad (36)$$

В режиме прямого включения $p^+ - n$ -перехода электрические поля ОПЗ перехода и квазинейтральной n -области направлены противоположно. Поэтому заряд Q , который определяет дифференциальную емкость $p^+ - n$ -перехода в режиме прямого включения, представим в виде

$$Q = \frac{\varepsilon}{4\pi q} \left\{ \left| \left(\frac{d\varphi(x)}{dx} \right)_{x=0} \right| - \left| \left(\frac{d\varphi(x)}{dx} \right)_{L+0} \right| \right\} = \frac{\varepsilon}{4\pi q} \left| \left(\frac{d\varphi(x)}{dx} \right)_{x=0} - \left(\frac{d\varphi(x)}{dx} \right)_L \right|. \quad (37)$$

Подставляем (36), (12), (28), (34) в (37) и при

$$\Delta p(0) p_T^{-1} e^{-\frac{qU_k}{kT}} \ll 1; \quad e^{-\frac{3q(U_k - U)}{2kT}} \ll 1; \quad e^{-\frac{q(U_k - U)}{kT}} \ll 1; \quad [n_L n_T^{-1} e^{\frac{qU}{kT}} - (1 + \Delta n(0)) n_T^{-1} e^{\frac{qU}{kT}}] \times [(1 - e^{-\frac{qU_k}{2kT}}) e^{-\frac{qU}{2kT}}] \ll n_L n_T^{-1} \quad (38)$$

получаем

$$Q = q n_T \left(\frac{\varepsilon k T}{2\pi q^2 n_T} \right)^{1/2} \left\{ \left[p_T n_T^{-1} e^{\frac{qU_k}{kT}} - 2p_L n_T^{-1} - 3p_T n_T^{-1} \times (e^{\frac{qU}{kT}} - p_L p_T^{-1}) (1 - e^{-\frac{q(U_k - U)}{2kT}}) + (1 - p_T n_T^{-1}) \frac{q(U_k - U)}{kT} - 1 + p_T n_T^{-1} + 2.25 p_T n_T^{-1} (p_L p_T^{-1})^{-2} (e^{\frac{qU}{kT}} - p_L p_T^{-1})^2 \right]^{1/2} - 1.5 (p_T n_T^{-1})^{1/2} (p_L p_T^{-1})^{-1} (e^{\frac{qU}{kT}} - p_L p_T^{-1}) \right\}. \quad (39)$$

Обратное включение $p^+ - n$ -перехода. Из уравнения (1) с учетом (17), (4)–(7) получаем распределение

концентрации дырок $p(x)$ в виде

$$p(x) = p_T \left\{ p_L p_T^{-1} - \left[p_L p_T^{-1} - (1 - \Delta p(0)) p_T^{-1} e^{-\frac{qU_k}{kT}} \right] e^{-\frac{qU}{kT}} \right. \\ \left. \times \left(\int_L^0 e^{-\frac{\varphi(x)}{kT}} dx \right)^{-1} \int_L^x e^{-\frac{\varphi(x)}{kT}} dx \right\} e^{\frac{\varphi(x)}{kT}} \quad (40)$$

и ток дырок j_p в виде

$$j_p = -qD_p p_T \left[p_L p_T^{-1} - (1 - \Delta p(0)) p_T^{-1} e^{-\frac{qU_k}{kT}} \right] e^{-\frac{qU}{kT}} \\ \times \left(\int_L^0 e^{-\frac{\varphi(x)}{kT}} dx \right)^{-1} \quad (41)$$

Из уравнения (2) с учетом (18), (4), (5), (8)–(10) получаем распределение концентрации электронов $n(x)$ в виде

$$n(x) = n_T \left\{ n_L n_T^{-1} + \left[(1 - \Delta n(0)) n_T^{-1} e^{\frac{qU_k}{kT}} \right] e^{\frac{qU}{kT}} - n_L n_T^{-1} \right\} \\ \times \left(\int_L^0 e^{\frac{\varphi(x)}{kT}} dx \right)^{-1} \int_L^x e^{\frac{\varphi(x)}{kT}} dx \quad (42)$$

и ток электронов j_n в виде

$$j_n = -qD_n n_T \left[(1 - \Delta n(0)) n_T^{-1} e^{\frac{qU_k}{kT}} \right] e^{\frac{qU}{kT}} - n_L n_T^{-1} \\ \times \left(\int_0^L e^{\frac{\varphi(x)}{kT}} dx \right)^{-1}, \quad (43)$$

а также в виде

$$j_n = -qD_n \Delta n(0) e^{\frac{qU_k}{kT}} \left(\int_0^L e^{\frac{\varphi(x)}{kT}} dx \right)^{-1} \quad (44)$$

Подставляем (40) и (42) в (3) и интегрируем от L до 0 с учетом (4), (5), (11). Тогда получим

$$\left(\frac{d\varphi(x)}{dx} \right)_{x=0} = - \left(\frac{8\pi q^2 k T n_T}{\varepsilon} \right)^{1/2} \left\{ p_L n_T^{-1} \left(e^{\frac{q(U_k+U)}{kT}} - 1 \right) \right. \\ - p_T n_T^{-1} \left[p_L p_T^{-1} - (1 - \Delta p(0)) p_T^{-1} e^{-\frac{qU_k}{kT}} \right] e^{-\frac{qU}{kT}} \\ \times \left(\int_L^0 e^{-\frac{\varphi(x)}{kT}} dx \right)^{-1} \left[e^{\frac{q(U_k+U)}{kT}} \int_L^0 e^{-\frac{\varphi(x)}{kT}} dx + L \right] \\ + (1 - p_T n_T^{-1}) \frac{q(U_k + U)}{2kT} - n_L n_T^{-1} (1 - e^{-\frac{q(U_k+U)}{kT}}) \\ + \left[(1 - \Delta n(0)) n_T^{-1} e^{\frac{qU_k}{kT}} \right] e^{\frac{qU}{kT}} - n_L n_T^{-1} \\ \times \left(\int_L^0 e^{\frac{\varphi(x)}{kT}} dx \right)^{-1} \left[e^{-\frac{q(U_k+U)}{kT}} \int_L^0 e^{\frac{\varphi(x)}{kT}} dx + L \right] \\ \left. + \frac{\varepsilon}{8\pi q^2 k T n_T} \left(\frac{d\varphi(x)}{dx} \right)_L^2 \right\}^{1/2} \quad (45)$$

Дрейфовый ток дырок $j_p(L+0)$ представим с учетом (15) в виде

$$j_p(L+0) = \mu_p p_L \left(\frac{d\varphi(x)}{dx} \right)_L \quad (46)$$

Из уравнения (26) с учетом (41), (34), (46) и соотношения Эйнштейна получаем

$$\left(\frac{d\varphi(x)}{dx} \right)_L = -1.5 \left(\frac{8\pi q^2 k T n_T}{\varepsilon} \right)^{1/2} (p_T n_T^{-1})^{1/2} (p_L p_T^{-1})^{-1} \\ \times \left[p_L p_T^{-1} - (1 - \Delta p(0)) p_T^{-1} e^{-\frac{qU_k}{kT}} \right] e^{-\frac{qU}{kT}} \left(1 - e^{-\frac{3q(U_k+U)}{2kT}} \right)^{-1} \quad (47)$$

С учетом (33)–(35), (47) уравнение (45) принимает вид

$$\left(\frac{d\varphi(x)}{dx} \right)_{x=0} = - \left(\frac{8\pi q^2 k T n_T}{\varepsilon} \right)^{1/2} \left\{ p_T n_T^{-1} (1 - \Delta p(0)) \right. \\ \times p_T^{-1} e^{-\frac{qU_k}{kT}} e^{\frac{qU}{kT}} - p_L n_T^{-1} + 3p_T n_T^{-1} \left[p_L p_T^{-1} - (1 - \Delta p(0)) \right. \\ \times p_T^{-1} e^{-\frac{qU_k}{kT}} \left. \right] e^{-\frac{qU}{kT}} \left. \right] \left(1 - e^{-\frac{q(U_k+U)}{2kT}} \right) \left(1 - e^{-\frac{3q(U_k+U)}{2kT}} \right)^{-1} \\ + (1 - p_T n_T^{-1}) \frac{q(U_k + U)}{2kT} - n_L n_T^{-1} (1 - e^{-\frac{q(U_k+U)}{kT}}) \\ - \left[(1 - \Delta n(0)) n_T^{-1} e^{\frac{qU_k}{kT}} - n_L n_T^{-1} e^{-\frac{qU}{kT}} \right] (1 - e^{-\frac{qU_k}{2kT}}) e^{-\frac{qU}{kT}} \\ + 2.25 p_T n_T^{-1} (p_L p_T^{-1})^{-2} \left[p_L p_T^{-1} - (1 - \Delta n(0)) n_T^{-1} e^{\frac{qU_k}{kT}} \right] \\ \times e^{-\frac{qU}{kT}} \left. \right\}^2 \left(1 - e^{-\frac{3q(U_k+U)}{2kT}} \right)^{-2} \quad (48)$$

В режиме обратного включения $p^+ - n$ -перехода электрические поля ОПЗ и квазинейтральной n -области направлены одинаково. Поэтому заряд Q , который определяет дифференциальную емкость $p^+ - n$ -перехода в режиме обратного включения, представим в виде

$$Q_1 = \frac{\varepsilon}{4\pi q} \left\{ \left| \left(\frac{d\varphi(x)}{dx} \right)_{x=0} \right| + \left| \left(\frac{d\varphi(x)}{dx} \right)_{L+0} \right| \right\} \\ = \frac{\varepsilon}{4\pi q} \left| \left(\frac{d\varphi(x)}{dx} \right)_{x=0} + \left(\frac{d\varphi(x)}{dx} \right)_L \right| \quad (49)$$

Подставляем (47), (48), (12) в (49) и при

$$\Delta p(0) p_T^{-1} e^{-\frac{qU_k}{kT}} \ll 1; \quad e^{-\frac{3q(U_k-U)}{2kT}} \ll 1; \quad e^{-\frac{q(U_k-U)}{kT}} \ll 1; \\ \left[(1 - \Delta n(0)) n_T^{-1} e^{\frac{qU_k}{kT}} - n_L n_T^{-1} e^{-\frac{qU}{kT}} \right] \\ \times (1 - e^{-\frac{qU_k}{2kT}}) e^{-\frac{qU}{kT}} \ll n_L n_T^{-1} \quad (50)$$

получаем

$$Q = qn_T \left(\frac{\epsilon k T}{2\pi q^2 n_T} \right)^{1/2} \left\{ \left[p_T n_T^{-1} e^{\frac{qU_k}{kT}} - 2p_L n_T^{-1} + 3p_T n_T^{-1} \right. \right. \\ \times (p_L p_T^{-1} - e^{-\frac{qU}{kT}}) (1 - e^{-\frac{q(U_k+U)}{2kT}}) + (1 - p_T n_T^{-1}) \frac{q(U_k+U)}{kT} \\ \left. \left. - 1 + p_T n_T^{-1} + 2.25 p_T n_T^{-1} (p_L p_T^{-1})^{-2} (p_L p_T^{-1} - e^{-\frac{qU}{kT}})^2 \right]^{1/2} \right. \\ \left. + 1.5 (p_T n_T^{-1})^{1/2} (n_L n_T^{-1})^{-1} (p_L p_T^{-1} - e^{-\frac{qU}{kT}}) \right\}. \quad (51)$$

Высокий уровень инжекции. Величина $(d\phi(x)/dx)_L$ в виде (28) и заряд Q в виде (39) справедливы при низких уровнях инжекции $p^+ - n$ -перехода, так как при их получении полагали, что подвижности неравновесных и равновесных носителей заряда одного знака в квазинейтральной n -области равны.

Однако при увеличении уровня инжекции $p^+ - n$ -перехода различие подвижностей неравновесных и равновесных носителей заряда в квазинейтральной n -области станет значительным. Это можно показать следующим образом. Биполярную дрейфовую подвижность μ определяет формула [12]

$$\mu = (p_T - n_T)(n_T \mu_p^{-1} + p_T \mu_n^{-1})^{-1}. \quad (52)$$

Формула (52) получена при умножении уравнения непрерывности для дырок на $\sigma_{n0} = q\mu_n n_T$ и уравнения непрерывности для электронов на $\sigma_{p0} = q\mu_p p_T$. При умножении уравнения непрерывности для дырок на $\sigma_n = q\mu_n n$ и уравнения непрерывности для электронов на $\sigma_p = q\mu_p p$, где $n = n_T + \Delta n$ и $p = p_T + \Delta p$, получаем биполярную подвижность μ в виде

$$\mu = (p - n)(n\mu_p^{-1} + p\mu_n^{-1})^{-1} \\ = (p_T - n_T)(n\mu_p^{-1} + p\mu_n^{-1})^{-1}. \quad (53)$$

Из (53) следует, что с ростом концентрации электронов n и дырок p за счет увеличения неравновесных концентраций электронов Δn и дырок Δp подвижность μ уменьшается и может стать значительно меньше подвижностей μ_p и μ_n . Поэтому при высоких уровнях инжекции $p^+ - n$ -перехода ток $j_p(L+0)$ представим в виде

$$j_p(L+0) = -[\mu_p p_T + \mu(p_L - p_T)] \left(\frac{d\phi(x)}{dx} \right)_L \\ = -\mu_p p_T [1 + \mu\mu_p^{-1}(p_L p_T^{-1} - 1)] \left(\frac{d\phi(x)}{dx} \right)_L, \quad (54)$$

где $p_L - p_T = \Delta p$. Из уравнения (26) с учетом (20), (34), (54) и соотношения Эйнштейна получаем

$$\left(\frac{d\phi(x)}{dx} \right)_{x=L} = -1.5 \left(\frac{8\pi q^2 k T n_T}{\epsilon} \right)^{1/2} \\ \times (p_T n_T^{-1})^{1/2} [1 + \mu\mu_p^{-1}(p_L p_T^{-1} - 1)]^{-1} \\ \times \left[(1 + \Delta p(0) p_T^{-1} e^{-\frac{qU_k}{kT}}) e^{\frac{qU}{kT}} - p_L p_T^{-1} \right] \left(1 - e^{-\frac{3(U_k-U)}{2kT}} \right)^{-1}. \quad (55)$$

Подставляем (36), (12), (55) в (37) и с учетом (38) получаем заряд Q в виде

$$Q_1 = qn_T \left(\frac{\epsilon k T}{2\pi q^2 n_T} \right)^{1/2} \left\{ \left[p_T n_T^{-1} e^{\frac{qU_k}{kT}} - 2p_L p_T^{-1} \right. \right. \\ \left. \left. - 3p_T n_T^{-1} (e^{\frac{qU}{kT}} - p_L p_T^{-1}) (1 - e^{-\frac{q(U_k-U)}{2kT}}) \right. \right. \\ \left. \left. + (1 - p_T n_T^{-1}) \frac{q(U_k - U)}{kT} - 1 + p_T n_T^{-1} + 2.25 p_T n_T^{-1} \right. \right. \\ \left. \left. \times [1 + \mu\mu_p^{-1}(p_L p_T^{-1} - 1)]^{-2} (e^{\frac{qU}{kT}} - p_L p_T^{-1})^2 \right]^{1/2} \right. \\ \left. - 1.5 (p_T n_T^{-1})^{1/2} [1 + \mu\mu_p^{-1}(p_L p_T^{-1} - 1)]^{-1} (e^{\frac{qU}{kT}} - p_L p_T^{-1}) \right\}. \quad (56)$$

Отметим, что уравнение (56) определяет заряд Q во всем диапазоне уровней инжекции, так как при $\mu = \mu_p$ из (56) получается заряд Q в виде (39).

3. Зависимость граничных концентраций дырок и электронов от напряжения на области $p^+ - n$ -перехода

Зависимость концентрации дырок и электронов на границах ОПЗ $p - n$ -перехода от напряжения на ОПЗ перехода определялась и анализировалась в ряде работ [8,13–20]. В них получение граничных условий ОПЗ $p - n$ -перехода основано на различных приближениях в представлении ОПЗ перехода без рассмотрения условий динамического равновесия.

Полагаем, что установление динамического равновесия $p^+ - n$ -перехода определяют процессы, которые аналогичны процессам установления динамического равновесия в $p^+ - p$ -переходе в работе [21]. При подаче на $p^+ - n$ -переход внешнего напряжения в соответствии с принципом ле-Шателье–Брауна [22] изменения распределений концентрации дырок и электронов в ОПЗ перехода ослабляют действие внешнего напряжения. Это значит, что изменения в ОПЗ $p^+ - n$ -перехода направлены на установление состояния с током, равным нулю (бестоковое состояние), которое не может быть реализовано. Установлениюестокового состояния в $p^+ - n$ -переходе препятствует недостаток заряда дырок и заряда

электронов при прямом включении и избыток заряда дырок и заряда электронов при обратном включении.

Заряд в ОПЗ $p^+ - n$ -перехода в бестоковом состоянии и заряд, который препятствует установлению бестокового состояния, определяют заряд в ОПЗ перехода при динамическом равновесии перехода. Это положение справедливо для заряда дырок и для заряда электронов в отдельности и определяет зависимость граничных концентраций носителей заряда ОПЗ $p^+ - n$ -перехода от напряжения на ОПЗ перехода.

В связи с этим рассмотрим бестоковое состояние $p^+ - n$ -перехода для режимов прямого и обратного включений. В бестоковом состоянии $p^+ - n$ -перехода распределение концентрации дырок $p_1(x)$ получим из (19) или (40) при $j_p = 0$ и замене $p(x)$ на $p_1(x)$ и $\varphi(x)$ на $\varphi_1(x)$ в виде

$$p_1(x) = p_L e^{\frac{\varphi_1(x)}{kT}}; \quad (57)$$

распределение концентрации электронов $n_1(x)$ получим из (21) или (42) при $j_n = 0$ и замене $n(x)$ на $n_1(x)$ и $\varphi(x)$ на $\varphi_1(x)$ в виде

$$n_1(x) = n_L e^{-\frac{\varphi_1(x)}{kT}}. \quad (58)$$

Уравнение (3) при замене $p(x)$ на $p_1(x)$, $n(x)$ на $n_1(x)$ и $\varphi(x)$ на $\varphi_1(x)$ с учетом (57) и (58) принимает вид

$$\frac{d^2 \varphi_1(x)}{dx^2} = \frac{4\pi q^2 n_T}{\varepsilon} \times \left[p_L n_T^{-1} e^{\frac{\varphi_1(x)}{kT}} + 1 - p_T n_T^{-1} - n_L n_T^{-1} e^{-\frac{\varphi_1(x)}{kT}} \right]. \quad (59)$$

Граничные условия для уравнения (59) представим в виде

$$\varphi_1(L_1) = 0, \quad (60)$$

$$\varphi_1(0) = q(U_k \mp U), \quad (61)$$

$$p_L e^{\frac{\varphi_1(0)}{kT}} = p_1(0) = p_T e^{\frac{qU_k}{kT}} \left[1 \pm \Delta p_1(0) p_T^{-1} e^{-\frac{qU}{kT}} \right], \quad (62)$$

$$n_L e^{\frac{\varphi_1(0)}{kT}} = n_1(0) = n_L e^{-\frac{q(U_k \mp U)}{kT}}, \quad (63)$$

$$\left(\frac{d\varphi_1(x)}{dx} \right)_{x=L_1} = 0, \quad (64)$$

где $\Delta p_1(0) = \Delta n_1(0) = \pm [n_1(0) - n_0(0)]$, а $n_0(0)$ — концентрация электронов при термодинамическом равновесии $p^+ - n$ -перехода. Здесь U_1 — напряжение, которое изменяет разность потенциалов U_k , а L_1 — ширина ОПЗ $p^+ - n$ -перехода.

Интегрируем уравнение (59) от L_1 до 0 с учетом (60)–(64) и получаем

$$\left(\frac{d\varphi_1(x)}{dx} \right)_{x=0}^2 = \frac{8\pi q^2 k T n_T}{\varepsilon} \times \left[p_T n_T^{-1} (1 \pm \Delta p_1(0) p_T^{-1} e^{-\frac{qU_k}{kT}}) e^{\frac{qU_k}{kT}} - p_L n_T^{-1} + (1 - p_T n_T^{-1}) \frac{q(U_k \mp U)}{kT} - n_L n_T^{-1} (1 - e^{-\frac{q(U_k \mp U)}{kT}}) \right]. \quad (65)$$

Заряд в ОПЗ $p^+ - n$ -перехода в бестоковом состоянии равен

$$Q_1 = \frac{\varepsilon}{4\pi q} \left| \left(\frac{d\varphi_1(x)}{dx} \right)_{x=0} \right| = q n_T \left(\frac{\varepsilon k T}{2\pi q^2 n_T} \right)^{1/2} \times \left\{ p_T n_T^{-1} (1 \pm \Delta p_1(0) p_T^{-1} e^{-\frac{qU_k}{kT}}) e^{\frac{qU_k}{kT}} - p_L n_T^{-1} + (1 - p_T n_T^{-1}) \frac{q(U_k \mp U)}{kT} - n_L n_T^{-1} (1 - e^{-\frac{q(U_k \mp U)}{kT}}) \right\}^{1/2}. \quad (66)$$

При

$$\Delta p_1(0) p_T^{-1} e^{-\frac{qU_k}{kT}} \ll 1; \quad e^{-\frac{q(U_k \mp U)}{kT}} \ll 1 \quad (67)$$

с учетом (12) из (66) получаем

$$Q_1 = q n_T \left(\frac{\varepsilon k T}{2\pi q^2 n_T} \right)^{1/2} \left[p_T n_T^{-1} e^{\frac{qU_k}{kT}} - 2 p_L n_T^{-1} + (1 - p_T n_T^{-1}) \frac{q(U_k \mp U)}{kT} - 1 + p_T n_T^{-1} \right]^{1/2}. \quad (68)$$

Установлению бестокового состояния в $p^+ - n$ -переходе препятствует в режиме прямого включения недостаток заряда дырок ΔQ_p^- , который с учетом (6) и (33) представим в виде

$$\Delta Q_p^- = q [p(L) - p_T] L = q n_T \left(\frac{\varepsilon k T}{2\pi q^2 n_T} \right)^{1/2} \times (p_T n_T^{-1})^{1/2} (p_L p_T^{-1} - 1) (1 - e^{-\frac{q(U_k - U)}{2kT}}), \quad (69)$$

а в режиме обратного включения — избыток заряда дырок ΔQ_p^+ , который с учетом (6) и (33) представим в виде

$$\Delta Q_p^+ = q [p_T - p(L)] L = q n_T \left(\frac{\varepsilon k T}{2\pi q^2 n_T} \right)^{1/2} \times (p_T n_T^{-1})^{1/2} (1 - p_L p_T^{-1}) (1 - e^{-\frac{q(U_k + U)}{2kT}}). \quad (70)$$

Установлению бестокового состояния в $p^+ - n$ -переходе также препятствует недостаток заряда электронов в режиме прямого включения и избыток заряда электронов в режиме обратного включения. Однако каждый из этих зарядов электронов значительно меньше соответствующего заряда дырок. Поэтому этими зарядами электронов можно пренебречь.

Таким образом, условие динамического равновесия $p^+ - n$ -перехода в режиме прямого включения опишет уравнение

$$Q = Q_1 - \Delta Q_p^-, \quad (71)$$

а в режиме обратного включения — уравнение

$$Q = Q_1 + \Delta Q_p^+. \quad (72)$$

Условия динамического равновесия $p^+ - n$ -перехода в режимах прямого и обратного включения можно также

описать отдельными уравнениями для дырок и электронов, которые аналогичны уравнениям (71) и (72).

Уравнение (71) с учетом (56), (68), (69) принимает вид

$$\begin{aligned} & \left[p_T n_T^{-1} e^{\frac{qU_k}{kT}} - 2p_L n_T^{-1} - 3p_T n_T^{-1} (e^{\frac{qU}{kT}} - p_L p_T^{-1}) \right. \\ & \times (1 - e^{-\frac{q(U_k - U)}{2kT}}) + (1 - p_T n_T^{-1}) \frac{q(U_k - U)}{kT} - 1 + p_T n_T^{-1} \\ & \left. + 2.25 p_T n_T^{-1} [1 + \mu \mu_p^{-1} (p_L p_T^{-1} - 1)]^{-2} (e^{\frac{qU}{kT}} - p_L p_T^{-1})^2 \right]^{1/2} \\ & - 1.5 (p_T n_T^{-1})^{1/2} [1 + \mu \mu_p^{-1} (p_L p_T^{-1} - 1)]^{-1} (e^{\frac{qU}{kT}} - p_L p_T^{-1}) \\ & = \left[p_T n_T^{-1} e^{\frac{qU_k}{kT}} - 2p_L n_T^{-1} + (1 - p_T n_T^{-1}) \frac{q(U_k - U_1)}{kT} \right. \\ & \left. - 1 + p_T n_T^{-1} \right]^{1/2} - (p_T n_T^{-1})^{1/2} (p_L p_T^{-1} - 1) (1 - e^{-\frac{q(U_k - U)}{2kT}}). \end{aligned} \quad (73)$$

Уравнение (72) с учетом (51), (68), (70) принимает вид

$$\begin{aligned} & \left[p_T n_T^{-1} e^{\frac{qU_k}{kT}} - 2p_L n_T^{-1} + 3p_T n_T^{-1} (p_L p_T^{-1} - e^{-\frac{qU}{kT}}) \right. \\ & \times (1 - e^{-\frac{q(U_k + U)}{2kT}}) + (1 - p_T n_T^{-1}) \frac{q(U_k + U)}{kT} \\ & \left. - 1 + p_T n_T^{-1} + 2.25 p_T n_T^{-1} (p_L p_T^{-1})^{-2} (p_L p_T^{-1} - e^{-\frac{qU}{kT}})^2 \right]^{1/2} \\ & + 1.5 (p_T n_T^{-1})^{1/2} (p_L p_T^{-1})^{-1} (p_L p_T^{-1} - e^{-\frac{qU}{kT}}) \\ & = \left[p_T n_T^{-1} e^{\frac{qU_k}{kT}} - 2p_L n_T^{-1} + (1 - p_T n_T^{-1}) \frac{q(U_k + U_1)}{kT} \right. \\ & \left. - 1 + p_T n_T^{-1} \right]^{1/2} + (p_T n_T^{-1})^{1/2} (1 - p_L p_T^{-1}) (1 - e^{-\frac{q(U_k + U)}{2kT}}). \end{aligned} \quad (74)$$

Уравнения (73) и (74) можно решить приближенно. Для диапазона напряжений U , при которых в квадратных скобках первый член значительно больше остальных членов, корень квадратный извлекаем приближенно. Произведениями с $\exp(-qU_k/2kT)$ пренебрегаем. Тогда при

$$e^{-\frac{q(U_k \mp U)}{2kT}} \ll 1 \quad (75)$$

уравнение (73) принимает вид

$$\begin{aligned} & (p_L p_T^{-1})^2 + (2.5 \mu_p \mu^{-1} - 2) p_L p_T^{-1} \\ & - (1.5 e^{\frac{qU}{kT}} + 1) \mu_p \mu^{-1} + 1 = 0, \end{aligned} \quad (76)$$

а уравнение (74) принимает вид

$$(p_L p_T^{-1})^2 + 0.5 p_L p_T^{-1} - 1.5 e^{-\frac{qU}{kT}} = 0. \quad (77)$$

Отрицательный корень уравнений (76), (77) не имеет физического смысла. Из (76) получаем

$$\begin{aligned} p_L p_T^{-1} = & \left[(1.5 e^{\frac{qU}{kT}} + 1) \mu_p \mu^{-1} + (1.25 \mu_p \mu^{-1} - 1)^2 - 1 \right]^{1/2} \\ & - (1.25 \mu_p \mu^{-1} - 1) \end{aligned} \quad (78)$$

и при $\mu = \text{const}$ получаем

$$\begin{aligned} \frac{d}{dU} (p_L p_T^{-1}) = & 0.75 \frac{q}{kT} \mu_p \mu^{-1} e^{\frac{qU}{kT}} \\ & \times \left[(1.5 e^{\frac{qU}{kT}} + 1) \mu_p \mu^{-1} + (1.25 \mu_p \mu^{-1} - 1)^2 - 1 \right]^{-1/2}. \end{aligned} \quad (79)$$

При $\mu = \mu_p$ из (78) и (79) получаем

$$p_L p_T^{-1} = [1.5 e^{\frac{qU}{kT}} + (0.25)^2]^{1/2} - 0.25, \quad (80)$$

$$\frac{d}{dU} (p_L p_T^{-1}) = 0.75 \frac{q}{kT} e^{\frac{qU}{kT}} [1.5 e^{\frac{qU}{kT}} + (0.25)^2]^{-1/2}. \quad (81)$$

Из (77) получаем

$$p_L p_T^{-1} = [1.5 e^{-\frac{qU}{kT}} + (0.25)^2]^{1/2} - 0.25, \quad (82)$$

$$\frac{d}{dU} (p_L p_T^{-1}) = -0.75 \frac{q}{kT} e^{-\frac{qU}{kT}} [1.5 e^{-\frac{qU}{kT}} + (0.25)^2]^{-1/2}. \quad (83)$$

Из равенства токов j_n в виде (22) и (23) получаем

$$\Delta n(0) = 0.5 n_T e^{-\frac{qU_k}{kT}} (n_L n_T^{-1} e^{\frac{qU}{kT}} - 1), \quad (84)$$

а из равенства токов j_p в виде (43) и (44) получаем

$$\Delta n(0) = 0.5 n_T e^{-\frac{qU_k}{kT}} (1 - n_L n_T^{-1} e^{-\frac{qU}{kT}}). \quad (85)$$

Формулы (78)–(85) необходимы для расчета зависимостей емкости и тока $p^+ - n$ -перехода от напряжения на области перехода.

4. Дифференциальная емкость $p^+ - n$ -перехода

Дифференциальную емкость C $p^+ - n$ -перехода, у которого вся ОПЗ расположена в n -области, определяет формула

$$C = \frac{dQ}{d(U_k \mp U)} = \frac{dQ/dU}{d(U_k \mp U)/dU} = \mp \frac{dQ}{dU}. \quad (86)$$

Зависимость емкости $p^+ - n$ -перехода C от прямого напряжения U получим подстановкой (56) в (86) в виде

$$C = -\frac{dQ}{dU} = 0.5q \left(\frac{\varepsilon n_T}{2\pi kT} \right)^{1/2} \left\{ 3(p_T n_T^{-1})^{1/2} e^{\frac{qU}{kT}} F^{-1} - 3(p_T n_T^{-1})^{1/2} \left[\left(e^{\frac{qU}{kT}} - p_L p_T^{-1} \right) F^{-2} \mu \mu_p^{-1} + F^{-1} \right] \times \frac{kT}{q} \frac{d}{dU} (p_L p_T^{-1}) \right\} + 0.5q \left(\frac{\varepsilon n_T}{2\pi kT} \right)^{1/2} \times \left\{ 1 + p_T n_T^{-1} (3e^{\frac{qU}{kT}} - 1) - 1.5 p_T n_T^{-1} e^{-\frac{qU_k}{2kT}} \times (3e^{\frac{3qU}{2kT}} - p_L p_T^{-1} e^{\frac{qU}{2kT}}) - 4.5 p_L n_T^{-1} (e^{\frac{qU}{kT}} - p_L p_T^{-1}) e^{\frac{qU}{kT}} F^{-2} + p_T n_T^{-1} \left[4.5 (e^{\frac{qU}{kT}} - p_L p_T^{-1}) F^{-2} + 4.5 (e^{\frac{qU}{kT}} - p_L p_T^{-1})^2 \times \mu \mu_p^{-1} F^{-3} - (1 - 3e^{-\frac{q(U_k - U)}{2kT}}) \right] \frac{kT}{q} \frac{d}{dU} (p_L p_T^{-1}) \right\} \times \left[p_T n_T^{-1} e^{\frac{qU_k}{kT}} - 2p_L n_T^{-1} - 3p_T n_T^{-1} (e^{\frac{qU}{kT}} - p_L p_T^{-1}) \times (1 - e^{-\frac{q(U_k - U)}{2kT}}) + (1 - p_T n_T^{-1}) \left(\frac{q(U_k - U)}{kT} - 1 \right) + 2.25 p_T n_T^{-1} F^{-2} (e^{\frac{qU}{kT}} - p_L p_T^{-1})^2 \right]^{-1/2}, \quad (87)$$

где $F = 1 + \mu \mu_p (p_L p_T^{-1} - 1)$. При низких уровнях инжекции $p^+ - n$ -перехода $\mu = \mu_p$ и $F = p_L p_T^{-1}$. С учетом этого из (87), (80), (81) получаем, что с ростом прямого напряжения U емкость C увеличивается. При увеличении уровня инжекции $p^+ - n$ -перехода подвижность μ в (53) уменьшается. С учетом $n = n_L$, $p = p_L$ и модуля μ в (53) получаем

$$\mu \mu_p^{-1} p_L p_T^{-1} = (n_T p_T^{-1} - 1) [(n_T - p_T) p_L^{-1} + 1 + \mu_p \mu_n^{-1}]^{-1}. \quad (88)$$

При $n_T - p_T \ll p_L$, $\mu \mu_p^{-1} \ll 1$ с учетом (88) получаем

$$F = 1 + (n_T p_T^{-1} - 1) (1 + \mu_p \mu_n^{-1})^{-1}. \quad (89)$$

С учетом (79) и (89) получаем, что увеличение напряжения U приводит к выполнению неравенства

$$\mu \mu_p^{-1} F^{-2} \frac{kT}{q} \frac{d}{dU} (p_L p_T^{-1}) > F^{-1} \quad (90)$$

и отрицательной емкости C в (87).

Таким образом, с увеличением прямого напряжения емкость $p^+ - n$ -перехода вначале увеличивается, а затем уменьшается и изменяет знак с положительного на отрицательный. Такой характер зависимости емкости от напряжения для $p^+ - n$ -переходов экспериментально получен в работах [1–7].

Из (88) следует, что с приближением отношения $n_T p_T^{-1}$ к единице величина $\mu \mu_p^{-1} p_L p_T^{-1}$ стремится к

нулю, а F стремится к величине $1 - \mu \mu_p^{-1}$. В результате этого напряжение U , при котором выполнимо неравенство (90) с учетом (79), уменьшается. Поэтому с приближением равновесной проводимости n -области к собственной напряжением изменения знака емкости $p^+ - n$ -перехода уменьшается. С увеличением температуры n -области ее проводимость приближается к собственной, так как $n_T p_T^{-1}$ стремится к единице. Поэтому увеличение температуры $p^+ - n$ -перехода также уменьшает напряжение изменения знака емкости. Эти результаты получены экспериментально в работе [4].

Зависимость емкости $p^+ - n$ -перехода от обратного напряжения получим подстановкой (51) в (86) в виде

$$C = \frac{dQ}{dU} = 0.5q \left(\frac{\varepsilon n_T}{2\pi kT} \right)^{1/2} \left\{ 3(p_T n_T^{-1})^{1/2} (p_L p_T^{-1})^{-1} e^{-\frac{qU}{kT}} \times \left[1 + (p_L p_T^{-1})^{-1} \frac{kT}{q} \frac{d}{dU} (p_L p_T^{-1}) \right] + \left[1 - p_T n_T^{-1} \times (1 - 3e^{-\frac{qU}{kT}}) - 1.5 p_T n_T^{-1} e^{-\frac{qU}{2kT}} (3e^{-\frac{3qU}{kT}} - p_L p_T^{-1} e^{-\frac{qU}{2kT}}) + 4.5 p_T n_T^{-1} (p_L p_T^{-1})^{-2} (p_L p_T^{-1} - e^{-\frac{qU}{kT}}) e^{-\frac{qU}{kT}} + p_T n_T^{-1} (4.5 (p_L p_T^{-1})^{-2} e^{-\frac{qU}{kT}} - 4.5 (p_L p_T^{-1})^{-3} e^{-\frac{2qU}{kT}} + 1 - 3e^{-\frac{q(U_k + U)}{2kT}}) \frac{kT}{q} \frac{d}{dU} (p_L p_T^{-1}) \right] \left[p_T n_T^{-1} e^{\frac{qU_k}{kT}} - 2p_L n_T^{-1} + 3p_T n_T^{-1} (p_L p_T^{-1} - e^{-\frac{qU}{kT}}) (1 - e^{-\frac{q(U_k + U)}{2kT}}) + (1 - p_T n_T^{-1}) \left(\frac{q(U_k + U)}{kT} - 1 \right) + 2.25 p_T n_T^{-1} (p_L p_T^{-1})^{-2} (p_L p_T^{-1} - e^{-\frac{qU}{kT}})^2 \right]^{-1/2} \right\}, \quad (91)$$

где $p_L p_T^{-1}$ и $\frac{d}{dU} (p_L p_T^{-1})$ определены формулами (82) и (83). Из (91) следует, что с увеличением обратного напряжения U емкость $p^+ - n$ -перехода C уменьшается, но остается положительной.

При напряжении на $p^+ - n$ -переходе $U = 0$ из (87), а также из (91), с учетом (78)–(83), $\mu = \mu_p$ и $F = 1$ получаем

$$C(U = 0) = 0.5q \left(\frac{\varepsilon n_T}{2\pi kT} \right)^{1/2} \left\{ 1.2 (p_T n_T^{-1})^{1/2} + \left[1 + p_T n_T^{-1} (1.4 - 1.2 e^{-\frac{qU_k}{2kT}}) \right] \times \left[p_T n_T^{-1} (e^{\frac{qU_k}{kT}} - 1) + (1 - p_T n_T^{-1}) \frac{qU_k}{kT} - 1 \right]^{-1/2} \right\}. \quad (92)$$

Для $p^+ - n$ -перехода с глубокими центрами рекомбинации в n -области зависимость емкости C от прямого

напряжения U получим подстановкой (39) в (86) при $n_L = n_T$ и $p_L = p_T$ в виде

$$C = -\frac{dQ}{dU} = 0.5q \left(\frac{\varepsilon n_T}{2\pi kT} \right)^{1/2} \left\{ 3(p_T n_T^{-1})^{1/2} e^{\frac{qU}{kT}} + \left[1 + p_T n_T^{-1} (3e^{\frac{qU}{kT}} - 1) + 1.5 p_T n_T^{-1} e^{-\frac{q(U_k - U)}{2kT}} - 4.5 p_T n_T^{-1} e^{-\frac{qU_k}{2kT}} e^{\frac{3qU}{2kT}} - 4.5 p_T n_T^{-1} (e^{\frac{2qU}{kT}} - e^{\frac{qU}{kT}}) \right] \times \left[p_T n_T^{-1} (e^{\frac{qU_k}{kT}} - 1) - 3 p_T n_T^{-1} (e^{\frac{qU}{kT}} - 1) \right] \times (1 - e^{-\frac{q(U_k - U)}{2kT}}) + (1 - p_T n_T^{-1}) \frac{q(U_k - U)}{kT} - 1 + 2.25 p_T n_T^{-1} (e^{\frac{qU}{kT}} - 1)^2 \right\}^{-1/2}. \quad (93)$$

Из (93) следует, что в диапазоне прямых напряжений $0.5U_k < U < U_k$ емкость $p^+ - n$ -перехода изменяет знак с положительного на отрицательный. Такой характер зависимости емкости $p^+ - n$ -перехода от прямого напряжения получен экспериментально в работе [5].

5. Зависимость тока $p^+ - n$ -перехода от напряжения

Для режима прямого включения $p^+ - n$ -перехода из (20) и (22) с учетом (34), (35), (12), (84) при

$$\Delta p(0) p_T^{-1} e^{-\frac{qU_k}{kT}} \ll 1; \quad e^{-\frac{3q(U_k \mp U)}{2kT}} \ll 1; \quad e^{-\frac{q(U_k \mp U)}{2kT}} \ll 1 \quad (94)$$

получаем

$$j_p = 3qD_p p_T \left(\frac{\varepsilon kT}{2\pi q^2 n_T} \right)^{-1/2} (p_T n_T^{-1})^{1/2} (e^{\frac{qU}{kT}} - p_L p_T^{-1}), \quad (95)$$

$$j_n = 0.5qD_n n_T e^{-\frac{qU_k}{2kT}} \left(\frac{\varepsilon kT}{2\pi q^2 n_T} \right)^{-1/2} (p_T n_T^{-1})^{1/2} \times \left\{ \left[1 + p_T n_T^{-1} (p_L p_T^{-1} - 1) \right] e^{\frac{qU}{kT}} - 1 \right\}, \quad (96)$$

где $p_L p_T^{-1}$ определяет формула (80) при низких уровнях инжекции и формула (78) при высоких уровнях инжекции.

Для режима обратного включения $p^+ - n$ -перехода из (41) и (43) с учетом (34), (35), (12), (85) при выполнении неравенства (94) получаем

$$j_p = -3qD_p p_T \left(\frac{\varepsilon kT}{2\pi q^2 n_T} \right)^{-1/2} (p_T n_T^{-1})^{1/2} (p_L p_T^{-1} - e^{-\frac{qU}{kT}}), \quad (97)$$

$$j_n = -0.5qD_n n_T e^{-\frac{qU_k}{2kT}} \left(\frac{\varepsilon kT}{2\pi q^2 n_T} \right)^{-1/2} (p_T n_T^{-1})^{1/2} \times \left\{ 1 - \left[1 - p_T n_T^{-1} (1 - p_L p_T^{-1}) \right] e^{-\frac{qU}{kT}} \right\}, \quad (98)$$

где $p_L p_T^{-1}$ определяет формула (82).

6. Заключение

Положительная емкость $p^+ - n$ -перехода образована уменьшением заряда в ОПЗ перехода при уменьшении разности потенциалов $U_k - U$, т. е. при увеличении прямого напряжения U , и увеличением заряда в ОПЗ перехода при увеличении разности потенциалов $U_k - U$, т. е. при уменьшении прямого напряжения U .

Изменение знака емкости $p^+ - n$ -перехода с ростом уровня инжекции вызвано изменением уменьшения заряда в ОПЗ перехода на его увеличение за счет уменьшения биполярной дрейфовой подвижности в n -области.

Увеличение температуры $p^+ - n$ -перехода приближает проводимость n -области к собственной и смещает уменьшение биполярной дрейфовой подвижности с ростом тока инжекции в область меньших токов. Поэтому с ростом температуры $p^+ - n$ -перехода напряжение изменения знака емкости перехода уменьшается.

Уменьшение емкости $p^+ - n$ -перехода и стремление к постоянному положительному значению при увеличении обратного напряжения вызвано ослаблением увеличения заряда в ОПЗ перехода при увеличении ширины ОПЗ перехода.

Список литературы

- [1] G. Kohn, W. Nannenmacher. Arch. Electr. Ubertrag., **8** (12), 561 (1954).
- [2] W. Guggenbühl. Arch. Electr. Ubertrag., **10** (11), 483 (1956).
- [3] С.П. Снина. РЭ, **7** (8), 1427 (1962).
- [4] З.А. Искандер-заде, Э.А. Джафарова. Физика $p - n$ -переходов (Рига, Зинатне, 1966) с. 103.
- [5] А.М. Агаев, Г.В. Захваткин, М.И. Иглицын, А.Я. Первова, Ф.И. Фистуль. Физика $p - n$ -переходов (Рига, Зинатне, 1966) с. 7.
- [6] Н.А. Шеховцов. Функцион. материалы, **4** (2), 194 (1997).
- [7] Н.А. Шеховцов. Радиофизика и электроника (Сб. тр. ИРЭ НАНУ, Харьков), **5** (1), 142 (2000).
- [8] W. Shockley. Bell. Syst. Techn. J., **28** (3), 435 (1949).
- [9] Лю Цзиньчжи, Ф.А. Линдолл. ТИИЭР, **76** (11), 6 (1988).
- [10] С.Т. Са. ТИРИ, **49** (3), 650 (1961).
- [11] Н.А. Шеховцов. Вестн. Харьк. нац. ун-та им. В.Н. Каразина. Радиофизика и электроника (Харьков, 2008) № 806, с. 48.
- [12] С.М. Рывкин. Фотозлектрические явления в полупроводниках (М., Гос. изд-во, физ.-мат. лит. 1963).
- [13] T. Misawa. J. Phys. Soc. Jpn., **11** (7), 728 (1956).
- [14] N.H. Flether. J. Electron., **2** (6), 609 (1957).
- [15] K.M. Vliet. J. Sol. St. Electron., **9** (3), 185 (1966).
- [16] J.R. Haysner. J. Sol. St. Electron., **14** (2), 133 (1971).
- [17] M. Guckel, A. Demirkol, D.C. Thomas. J. Sol. St. Electron., **25** (2), 105 (1982).
- [18] Н.М. Дударов. Изв. АН ЛатвССР. Сер. физ. и техн. наук, вып. 1, 24 (1971).
- [19] Н.М. Дударов. В сб.: Вопросы электросвязи (Рига, Зинатне, 1972) вып. 6, с. 77.
- [20] И.Н. Горбатый. РЭ, **33** (10), 2147 (1988).
- [21] Н.А. Шеховцов. ФТП, **46** (1), 60 (2012).
- [22] В.А. Киреев. Краткий курс физической химии (М., Химия, 1969) с. 219.

Редактор Л.В. Беляков

Dependence of differential capacitance of $p^+ - n$ -junction on voltage

N.A. Shekhovtsov

Karazin Kharkov National University,
61077 Kharkov, Ukraine

Abstract Dependences of capacitance and current of a $p^+ - n$ -junction with homogeneous doping of n -region on its voltage are calculated. The capacitance of a $p^+ - n$ -junction defines a change of charge into region of junction according to a change of electrical field of quasineutral n -region and a change of bipolar drift mobility under an increase of nonequilibrium charge carrier concentration. It is shown that a change of sign of $p^+ - n$ -junction capacitance with an increase in the injection level is caused by a decrease of bipolar drift mobility under an increase of electron-hole pair concentration in the n -region. It is shown that the capacitance of $p^+ - n$ -junction decreased with an increase of reverse voltage and tended to a constant positive value.